

25X1

Page Denied

Next 3 Page(s) In Document Denied

"Problemy projektowania i zastosowania oszczędnościowych
przykłady projektowania i zastosowania oszczędnościowych
dźwigarów żurawowych
dźwigarów sprężonych"

25X1

1. Istota dźwigarów oszczędnościowych na tle pracy dźwigarów pełnościennych.

Rys.1. Powszechnie stosowane w budownictwie pełnościenne /niedrążane/ belki i dźwigary sprężone, zwłaszcza prefabrykowane, cechuje niewykorzystanie cech wytrzymałościowych materiału. Rzepatrzmy dowolny zginany przekrój. W fazie użytkowania przekrój taki pracuje sprężyście i każdemu obciążeniu wywołuje w nim naprężenia /por.rys.1/e wykresie trójkątnym. Jak widać z wykresu największe naprężenia - dopuszczalne - powstają podczas obciążenia użytkowego występują tylko we włóknach skrajnych. W środku, na osi obciążnej naprężenia są równe zero. Średnia wartość w dowolnym pełnościennym przekroju zginanym wykorzystuje się pełną wytrzymałość materiału/betonu/. Pełną wytrzymałość materiału można wykorzystać w przekroju pracującym na zaciiskanie osiowe, nie natężonym na wybojenie.

W pełnościennych belkach, prefabrykowanych z użyciem żelaza względem wywołuje się sprężanie o wykresie trójkątnym.

Rys.2. Graficzne sumowanie wykresów naprężzeń od sprężania i od obciążenia użytkowego wykazuje, że w przekrójach pełnościennych wykorzystuje się zaledwie część sprężania /rys.2/. W przekrójach asymetrycznych część ta stanowi połowę sprężania. A więc w pełnościennych przekrójach elementów zginanych wykorzystuje się połowę sprężania sprężającego.

Ogólnie ~~wysokość~~ analiza pracy zginanych elementów sprężonych w fazie użytkowania a więc mazurycaj w fazie odkształceń liniowych wykazuje niewykorzystanie pełnej wytrzymałości sużywanego betonu i stali sprzążającej.

Podobne niewykorzystanie wytrzymałości sużytego betonu i stali ^{25X1} sprzążającej wykazuje analiza pracy przekroju w fazie odkształceń plastycznych a w szczególności w chwili nośności granicznej. Można przyjąć za podstawę prostokątny wykres naprężzeń w chwili zmieszczenia w strefie ścisłanej przekroju. Jak wiemy wysokość strefy ścisłanej betonu w chwili zmieszczenia jest mniejsza od połowy wysokości przekroju /wynikająco warunku $S_d < 0,75 S_o$, gdzie S_d - moment statyczny części ścisłanej przekroju - oraz S_o - moment statyczny całego przekroju względem środka ciężkości zbrojenia/ a więc dla zapewnienia żądanej nośności

Dla zapewnienia trójkątnego wykresu naprężeń stal sprzątająca służy ujemy tak aby jej środek ciężkości znajdował się na dolnej krawędzi rdzenia. Żądana nośność przekroju można uzyskać obniżając położenie stali sprzątającej, a więc i zmniejszając zwiększenie stali 25×1 oraz dodatkowe nieznacznie i betonu.

Przytoczona analiza odnosi się do decydującego przekroju w elemencie zginanym położonego w miejscu występowania momentu maksymalnego. Względy praktyczne uniemożliwiają w praktyce wykonywanie belaków/dźwigarów/ sprzątanych o zwiększym momencie bezwładności, dostosowanym swoją zmiennością do wykresu momentu zginającego. Najczęściej mamy do czynienia z belkami, w których dobiera się przekrój w jednym punkcie / a co najwyżej w kilku punktach/ gdzie występuje moment maksymalny, w pozostałych punktach przekroje belki są niewykorzystane, co dodatkowo zwiększa stopień niewykorzystania materiałów. Głównie na podstawie przytoczonych rozważań opracowane nowy typ konstrukcji nazywany w naszej praktyce "dźwigarem oszczędnościowym", który zapewnia maksymalne /pełne/ wykorzystanie wytrzymałości użytych materiałów, a co za tym idzie przynosi znaczne oszczędności /średnio 50%/betonu i stali sprzątającej w porównaniu z dotychczas stosowanymi w budownictwie dźwigarami sprzątonymi pełnościennymi. Dźwigary te od 4-ch lat znajdują powszechnie zastosowanie w budownictwie polskim a ostatnio można spotkać publikacje o zastosowaniu podobnych dźwigarów zagranicą / w szczególności w Jugosławii a także w Belgii i ostatnio w ZSRR/.

Opracowanie dźwigarów oszczędnościowych było związane z badaniami naukowymi i rozwiązaniem szeregu problemów statycznych i technologicznych, które są omówione w kilku publikacjach zamieszczonych w miesięczniku Inż.i Bud. i Bud.Przem. oraz szerzej w znajdującej się w druku książce autora "Prefabrykowane betonowe dźwigary sprzątane" /wyd.Bud.i Arch. Warszawa 1956r./.

W niniejszej publikacji omówimy pokrótko ogólną istotę dźwigarów oszczędnościowych, niektóre charakterystyczne problemy statyczne i realizacji oraz szerzej nowe badania i zastosowania dźwigarów skladanych dla większych rozpiętości.

Ogólny schemat dźwigara oszczędnościowego na tle dźwigara pełnościennego dla przypadku belki swobodnie podpartej obciążonej równomiernie przedstawia rys.3. Zamiast dźwigara pełnościennego, dźwigar oszczędnościowy składa się z pasa górnego - skrzyniowatego wg klocka parabolicznego a więc wg krawej podpartej do wykresu momentów od obciążenia, pasa dolnego - prostoliniowego, w którym umieszczone są cięgi sprzątające /taby/ oraz skrzynie zapasowe, aby pow-

Rys.3.

Przekrój betonu pasa górnego przyjęty jest głównie z warunku przeniesienia siły ściskającej osiowe podobnie jak przekrój ciągów pasa dolnego - z warunku przeniesienia siły naciągu 25X1^b, równej, ściskającej.

Pas górnny, może być zaprojektowany jako współpracujący z nadbetonem lub elementami pokrycia później włączonymi do współpracy, wtedy jego przekrój może być znacznie zmniejszony i przyjmowany głównie z warunków montażowych.

Przekrój betonu pasa dolnego przyjmowany jest z warunku przeniesienia wstępnej siły naciągowej w ciągnach /z warunku przeniesienia sprężenia/.

Przy zastosowaniu sprężenia stopniowanego, wykonywanego otapami równocześnie z obciążeniem konstrukcji przekrój pasa dolnego może być zmniejszony. Czyby siłę rociągającą w pasie dolnym przenieść przy pomocy stali zwyczajnej, której wykorzystanie jest możliwe przy małych wydłużeniach ciągów, wtedy dźwigar oszczędnościowy upodobniłby się do płaskiego łuku ześciągiem, w którym ciąg nie musi być obetonowany.

Istotą dźwigara oszczędnościowego jest jego kształt dostosowany do wykresu momentów, który zapewnia obciążenie jego pędu jedynie siłą osiową staką /przy nieznaczej wynieskości/, na całej długości dźwigara a więc w sposób umożliwiający maksymalne wykorzystanie wytrzymałości materiałów.

Dźwigar oszczędnościowy, zamiast pełnościennego, może być zastosowany dla różnych schematów obciążenia, przy czym zakrzywiony może być zarówno pas górny jak i pas dolny. Kilka przykładowych schematów dźwigarów oszczędnościowych przyjętych do realizacji będą zrealizowanych przedstawione na rys.4.

Rys.4.

2. Charakterystyczne problemy statyczne dźwigarów oszczędnościowych.

Na podstawie badań ustalono, że dla dźwigara oszczędnościowego może być przyjęty uproszczony schemat obliczeniowy płaskiego dwuprzegubowego łuku ze sztywnym ciągiem, w którym skupki są nieodkształcalne i połączone przeciętowo z obu pasami. Projektowanie i wymiarowanie dźwigara jest bardzo uproszczone i sprowadza się jedynie do określenia kształtu na podstawie wykresu momentów ed maksymalnego obciążenia użytkowego oraz dobranie przekrojów pasów jako elementów naraczących na osiowe ściskanie lub rozciąganie, a to z warunku nieprzekroczenia naprężeń dopuszczalnych 25X1^b i zapewnienia wymaganych współczynników pewności.

Na dźwigarze oszczędnościowym będzie posiadał kształt żuwanej linii Approved For Release 2008/11/14 : CIA-RDP80T00246A000800190001-2

sznurowej w przypadku obciążenia siłami skupionymi lub linii parabolicznej w przypadku obciążenia ciągłego. Każde obciążenie, które powoduje wystąpienie momentów o wykresie podobnym do kształtu dźwigara wywołuje jedynie siły osiowe w pasach - skierującą i rozciągającą oraz nie wywołuje żadnych sił w słupkach. Jak już wspomnieliśmy dla małej wyniosłości dźwigara /np. $\frac{f}{l} \leq \frac{1}{15}$ l/ można przyjąć, że siła osiowa w obu pasach jest stała na całej długości, ita więc przekroje pasów będą stałe także na całej długości.

Nie ma uzasadnienia dla dźwigarów oszczędnościowych sprawdzanie naprężeń głównych i ścinających.

Niezależnie od maksymalnego obciążenia, dla którego został dobrany kształt dźwigara w praktyce występują obciążenia przejściowe /np. w czasie transportu montażu, obciążenia zmiennego/ powodujące występowanie momentów niezgodnych z kształtem dźwigara a więc wywołujące dodatkowe momenty zginające w pasach dźwigara, oraz siły w słupkach.

Ustalono, że momenty dodatkowe od obciążenia nieodpowiadającego kształtowi dźwigara mogą być obliczone jak dla belki ze ścianieniem oraz rozłożone na oba pasy proporcjonalnie do ich momentów bezwładności. W takich przypadkach pasy dźwigara należy rozpatrywać jako obciążone mimośrodkiem. Znaczne momenty dodatkowe mogą spowodować konieczność strojenia pasów lub zwiększenia ich przekrojów co nie wpływa na ekonomiczność dźwigarów oszczędnościowych. W wielu takich przypadkach będzie celowe zastosowanie zamiast słupków pionowych - krzyżulebów, które łącznie z pasami dźwigara utworzą schomat kratownicowy. O ile obciążenie będzie przyłożone jedynie w węzłach kratownicowych, oraz dźwигar posiada kształt linii sznurowej, wtedy w każdym przypadku obciążenia w elementach kratownicy /o ile w dalszym ciągu krzyżulce położone są z pasami przegubowo/

Występuje jedynie siły osiowe. Przy obciążeniu równomiernym w pasie obciążonym dźwigara o kształcie linii sznurowej występują dodatkowe momenty zginające jak dla belki ciągłej o podporach w węzłach. Wielkość tych momentów może być zmniejszana przez zagęszczenie węzłów, jednakże abytnie zagęszczenie węzłów może być także nieekonomiczne ze względu na zwiększoną ilość krzyżulebów a więc i wagę dźwigara.

W dźwigarze oszczędnościowym skratowanym obciążonym tak, że wykres momentów jest zgodny z kształtem dźwigara siły w krzyżulcach, podobnie jak poprzednio w słupkach, nie występuje.

ogólnie zastosowanie kryształów zamiast słupków pionowych g_{25X1} uniezadziane dla dźwigarów o dużej rozpiętości /względem montażowych i transportowych/ oraz dla dźwigarów o znacznym obciążeniu średnim. O ile konstrukcja przewidziana jest dla znacznego obciążenia stałego w stosunku do nieznacznego zmianego użytkowego /do konstrukcji takich można zaliczyć np. siękię przekrycia budynków/ wtedy dla wyeliminowania niekorzystnego obciążenia dźwignia należy zastosować zwiększoną ilość uchwytów i ewentualne urządzenie wagowe, jak to stosowano w praktyce.

Zasada rozkładania momentów od obciążenia niezgodnego z kształtem dźwignia na oba pasy dźwignia proporcjonalnie do ich momentów bezwładności może być stosowana jedynie w granicach obciążenia dopuszczalnego, nie powodującego odkształceń plastycznych w pasach a szczególnie w pasie rozciągany /sprężonym/. W fazie odkształceń plastycznych kiedy pas rozciągany ulegnie spękaniu, dźwignia nacznie zachowywać się jak zwyczajny łuk ze ściągiem i całe momenty od obciążzeń niezgodnych z kształtem dźwignia będą przeniesione przez pas ścisany.

Na podstawie dokładnych obliczeń metodą sił dla przyjętego schematu dźwignia ustalone, że dowolny moment od obciążenia nie odpowiadającego schematowi dźwignia w fazie jego pracy sprężystej, rozkłada się proporcjonalnie do momentów bezwładności na oba pasy /por. plansza 1/.

Wyprowadzono wzór dla obliczenia wielkości statycznego niewykonalnej Hx dźwignia od sprężenia /por. plansza 2/. Wielkość ta jest jak widać dla praktycznych wymiarów bardzo nieznaczna i wpływ jej może być pomijany, tym bardziej że maleje wraz z nanoszeniem obciążenia.

Dla przyjętego uproszczonego schematu dźwignia i obciążenia zgodnego ze schematem wyprowadzono wzór dla obliczenia ugięć, który posiada postać podaną na planszy 3.

Przy dźwigarach oszczędnosciowych, o znacznej rozpiętości kiedy przekroje pasów są nieznaczne, natrącają się trudności w zapewnieniu dostatecznej sztywności dźwigarów w ich płaszczyźnie na czas montażu. Trudności te potęgują się o ile przewiduje się uwzględnienie współpracy nadbetonu lub elementów pokrycia or_{25X1} stosując się sprężenie stopniowane. W takich przypadkach należy stosować przekroje pasów zapewniające maksymalne sztywności w płaszczyźnie dźwignia przy równoczesnej małej powierzchni a więc o kształcie leżących cewników lub dwucewników usztywnionych.

Przy uwzględnieniu współpracy z pasem górnym nadbetonu lub elementów pokrycia później układanego na dźwigarach szczególnej uwagi wymaga połączenie dźwigara z tymi elementami. Dla zapewnienia odpowiedniego bezpieczeństwa należy przewidzieć na końcach dźwigarów odpowiednie połączenie /np. przy pomocy strzałek lub odpowiednich głowic/, z pasem dolnym - ściągiem - zdolne przenieść siłę równą, przewidzianej dla nadbetonu i elementów współpracujących.

3. Praktyczne zastosowanie i badania dźwigarów oszczędnościowych.

3.1. Pierwsze realizacje. Typizacja dźwigarów oszczędnościowych.

Opracowanie dźwigarów oszczędnościowych zostało podjęte w 1953r. w Biurze Studiów i Projektów Typowych Budownictwa Przemysłowego. Pierwsze badania wytrzymałościowe i realizacje dźwigarów na obiekttach przemysłowych zostały przeprowadzone w początkach 1954r.

Realizacje te zostały częściowo opisane w przytoczonych publikacjach. Były to dźwigary o rozpiętości 21m dla hal przemysłowych a później dźwigary wspornikowe o rozpiętości 9m i wysięgu wspornika 12m dla trybun Sztucznego Lodowiska w Warszawie. Zadawalające wyniki pierwszych realizacji były podstawą do opracowania typowych dźwigarów oszczędnościowych o rozpiętości 15, 18, 21, 24 i 30m. dla hal przemysłowych.*

Zestawienie cech charakterystycznych dźwigarów typowych przedstawiono w tabl.1. Dźwigary typowe znalazły zastosowanie praktyczne na wielu budynkach przemysłowych. Dla tych dźwigarów były przyjęte jednolite założenia projektowe a w szczególności.

- a/ rozpiętość 1 modułowa przy module 3m.
- b/ długość całkowita zmniejszona o 4cm dla umożliwienia wykonywania modułowych wielonawowych.
- c/ wysokość /wyniesłość/ dźwigara $f = \frac{1}{15} l$,
- d/ szerokość pasa ścisłanego dla zapewnienia dostatecznej sztywności $b = \frac{1}{50} l$,
- e/ wykonanie z betonu marki 400 oraz sprężenie stali II gat 0
 $R_z = 150 \text{ kg/mm}^2$ lub I gat 0 $R_z = 165 \text{ kg/mm}^2$.
- f/ uwzględnienie współpracy nadbetonu marki 200 o przekroju 13x30m
- g/ pokrycie typowe o rozpiętości 6 m - płytami żebrowymi 1,5x6 lub rusztami i płytami.

3.2. Dźwigary składane z segmentów.

Charakterystyczne dla pierwszych dźwigarów oszczędnościowych ich wykonywanie w całości w jednej formie, co związane było z

wieloma trudnościami a w szczególności:

25X1

- a/ konieczność wykonywania dźwigarów bezpośrednio na placach budów a więc przygotowanie twardego płału produkcyjnego transport form i urządzeń produkcyjnych, delegacje wykwalifikowanych brygad.
- b/ długi okres betonowania całego dźwigara trudność dobrego zabezpieczenia, utrudnione roboty zbrojarskie, skomplikowana forma.

Rys.9. Trudności te stopniowo eliminowane. Początkowo zastosowano do wszystkich dźwigarów prefabrykowane skupki, które wstawione do form łącznie z prefabrykowanym zbrojeniem pasów, wreszcie opracowano i zbadano nowe typy dźwigarów składanych z segmentów. Segmenty takie wykonuje się w Zakładach Betoniarskich i żelbetowych i jako gotowe przewozi na place budów gdzie jedynie składają się w dźwigary i spręże. Istnieje wiele możliwości podziału dźwigarów na segmenty. Na rys.9 pokazano kilka przykładowych schematów dźwigarów z segmentów które znalazły już praktyczne zastosowanie i w większości zostały zrealizowane. W wyniku zadanego doświadczeń wszystkie dotychczas stosowane typowe dźwigary oszczędnictwowe zostały zamienione na składane z segmentów /wg schematu 9a/ oraz jako segmentowe opracowuje się wszystkie nowe dźwigary indywidualne.

Rys.10. W trakcie realizacji opracowano i zbadano kilka rodzajów połączeń - stykowania - poszczególnych segmentów. A mianowicie stosowane połączenia zalewanie na mokro oraz połączenia nowego typu, polegające na dosunięciu segmentu na odległość 1-3cm i zalaniu styku rzadką zaprawą cementową. Ostatnie połączenie okazało się w praktyce najbardziej wygodne. Połączenie to stosowane jest obecnie najszerzej zarówno dla pasa sprężanego, przy czym sprężanie wprowadza się zazwyczaj następnego dnia po założeniu, jak i dla pasa ścisłanego. Ze względów montażowych styki pasa ścisłanego wzmacniane są dodatkowo przy pomocy spawania kątowników zabetonowanych wraz z kotwami w narożach elementów stykowych. Spawanie zapewnia możliwość pracy styku na rozciąganie w chwili podnoszenia dźwigara i obciążenia montażowego. Wykonwanie 25X1 dźwigarów z segmentów zamiast monolitycznych jak wykonywane dotychczas posiada szereg zalet a w szczególności:

- a/ sprawdza zasadnicze procesy produkcyjne wpływające na jakość betonu, formowanie, betonowanie, zabezpieczenie i dojrzewanie/

- b/ ogranicza procesy na budowie wykonywane przez specjalistów jedynie do składania, sprężania i ochrony kabli. 25X1
- c/ uniesałcznia od warunków atmosferycznych.
- d/ w większości przypadków obniża koszt dźwigarów oszczędnosciowych o 20 do 25%.

Rys.11.

Na wyróżnienie zasługuje zastosowanie schematu dźwigarów oszczędnosciowych składanych z segmentów do produkcji słupów i masztów. Na rys. 11 przedstawiono schemat słupa telefonicznego opracowanego w Katedrze Budownictwa Żelbetowego Wydziału Budownictwa Przemysłowego Politechniki Warszawskiej, znajdującego się w realizacji i badaniach. Słup składa się z dwóch desek strumebetowych połączonych przewiązkami z betonu zwyczajnego / z desek wypuszczonego strzemiona/. Deski ustawione w sposób zapewniający ich równomierne obciążenie tak że przewiązki spełniają jedynie rolę łączników nie obciążonych momentami. W ten sposób można było opracować słupy, które przenoszą duże obciążenie i posiadają nieznaczny ciężar własny. Charakterystykę słupów pudełko tabl.2.

Na rys.12 pokazano schemat masztu dekoracyjnego o wysokości 60 m /projekt koncepcyjny - wyróżniona praca konkursowa Nr.23 na Pawilon Polski na Międzynarodową Wystawę w Brukseli w 1958r./ wykonalnego z jednakowych segmentów składowych łączonych kablem. Ze względu na równomierne obciążenie od wiatru maszt posiada schemat paraboliczny.

tabl.2.

Rys.12

3.3. Dźwigary oszczędnosciowe o dużej rozpiętości

Realizacja i rodzaj konstrukcji o dużej rozpiętości jest uzależniony od stojących do dyspozycji materiałów i urządzeń, a głównie urządzeń montażowych. Biorąc pod uwagę deficytowość stali do realizacji konstrukcji o dużej rozpiętości szczególnie nadaje się beton sprężony. Deficytowość drewna narzuca konieczność wykonywania tych konstrukcji systemem prefabrykacji. Wraz ze wzrostem rozpiętości konstrukcji wzasta znacznie ciężar prefabrykatów, a więc wymagane są urządzenia dźwigowe o większym wysięgu i dużym udźigu. Ilość takich dźwigów jest weież niedostateczna a ich koszt demontażu transportu i eksploatacji jest bardzo wysoki.

Sytuacja taka narzuca konieczność poszukiwania nowych rozwiązań, umożliwiających w jak największym stopniu skrócenie czasu montażu prefabrykatów i wyeliminowanie konieczności stosowania ciężkich i nieprzyjemnych urządzeń dźwigowych. 25X1

Autorem oryginalu nowy tym przekreślona o dużej rozpiętości 36-60m

całkowicie prefabrykowanego opartego na dźwigarze oczepnieniowym skladanym z segmentów które może być montowane bez użycia ciężkiego dźwigu. Przekrycie to oznaczamy na tle projektu hangaru o rozsp. 42m zaprojektowanego ostatnio dla Zarządu Linii Cywilnych na Okęciu w Warszawie. Konstrukcja przekrycia składa się z płyt żupinowych 1,5x5,5x0,3 oczepnieniowego dźwigara kablobetonowego i słupów bliźniaczych. Schemat konstrukcji pokazany na rys.13.

Rys.13

Zastosowanie płyt żupinowych zamiast dotychczas stosowanych płyt żebrowych zmniejsza ciężar pokrycia o 30 kg/m^2 , /ciężar płyt żebrowych - 130 kg/m^2 zaś płyt żupinowych - 100 kg/m^2 / . Wykonanie płyt przewidziano w matrycach betonowych. Przyjęto, że płyty po umontowaniu i zalaniu nadbetonu połączeniowego będą pracowały na ścislanie jako część składowa pasa górnego dźwigara tworząc sklepienie powierzchniowe. Na tej zasadzie w żebrach podłużnych przyjęto zbrojenie jedynie z warunku montażowego - dla przeniesienia ciężaru własnego. W ten sposób obniżono zużycie stali zbrojeniowej do $2,5 \text{ kg/m}^2$ w stosunku do $5,5 \text{ kg/m}^2$ zużywanej w płytach żebrowych. Płyty dostosowane są do rozstawu dźwigarów co 6 m. Dla większych rozpiętości celowe będzie zastosowanie rozstawu co 9 i co 12m oraz płyt o większej szerokości /3m/. Dźwigary kablobetonowe zaprojektowane, przyjmując przekroje obu pasów z warunku przeniesienia obciążenia montażowego - ciężaru własnego samych dźwigarów, płyt żupinowych i nadbetonu.

Z tego samego wybranego przewidziano sprężenie na dole przed podniesieniem jedynie części kabli. Część kabli zostanie sprężona po stwardnieniu nadbetonu a przed ułożeniem ocieplenia z płyt spilsonowych i pokrycia papą.

Dźwiger składa się z typowych segmentów o przekroju cewowym dla obu pasów oraz o profilu drabin - dla krzyżułoców. Segmente pasów łączone są przez spawanie i zalewanie styków o szerokości 1-3cm. Krzyżułce są szersze tak, że obejmują oba pasy /o jednakowej szerokości równej 60cm/ i są z nimi połączone przez spawanie okutych krawędzią. Kable prowadzone są na zewnątrz przekroju pasa /por.rys.14/ i chronione przed korozją zaprawą ulożoną dopiero po podniesieniu dźwigarów i ukončeniu montażu. Dla odpowiedniego prowadzenia kabli przepony prefabrykowanych odcinków pasa dolnego zaopatrzone w odpowiednio rozmieszczone otwory.

Rys.14

Składanie dźwigarów przewidziano w pozycji stojącej między uprzednio ustawnionymi i usztywnionymi słupami bliźniaczymi. Łączny ciężar dźwigara około 18 ton (około 430 kg/m^2). Dla podnoszenia

dźwigarów na skupach bliźniaczych ustawia się odpowiednie bloki montażowe. Podnoszenie przeprowadza się równocześnie z obu ^{dźwigarkami} ~~dźwigarkami~~ ciernymi przy wykorzystaniu żupów podporowych jako prowadnic montażowych. Po podniesieniu dźwigarów na odpowiednią wysokość, przez otwory w skupach przesuwa się balki oporowe i przenosi blok montażowy na następne stanowisko. Najczęszym prefabrykatem, który należy zamontować dźwigiem jest skup bliźniacy, którego ciężar ze względu na otwory poprzeczne nie przekracza 3 t. Schemat podnoszenia dźwigarów przedstawione na rys.15. W tablicy 2 zestawione wskazówki techniczne ekonomiczne opisanego przekrycia. Cechą charakterystyczną opisanego przekrycia jest tworzenie dźwigara sklepiennego z cienkościennych prefabrykatów żupinowych oraz montowanie ich na prefabrykowanym dźwigarze oszczędnościowym, będącym później przeponą sklepienia i przenoszącym momenty i reakcje.

Rys.15
tabl.2

3.4. Badania wytrzymałościowe dźwigarów oszczędnościowych.

Realizację nowych typów dźwigarów oszczędnościowych były poprzedzone badaniami wytrzymałościowymi.

Badania przeprowadzono na dźwigarach w skali naturalnej wybieranych z normalnej produkcji. Dla każdego typu badano równocześnie 2 dźwigary zamontowane na specjalnych fundamentach i przykryte elementami /naogół rusztami prefabrykowanymi/ zapewniając warunki najbardziej podobne do przewidzianych na budowie. Zasadnicze badanie wytrzymałościowe polegało na próbnym obciążeniu dźwigarów i określaniu obciążenia powodującego chwilę zjawienia się rys, oraz zaiczczenia a także na pomiarze odkształceń dźwigarów. Wyniki każdego badania zostały opracowane naukowo w odrębnych sprawozdaniach. Opis niektórych badań i uzyskanych wyników omówiono w wymienionych publikacjach. W niniejszym opracowaniu ograniczy się jedynie do tabelarycznego zestawienia wyników badania 5-ciu typów dźwigarów całkowicie ukończonych, nadmieniając że badanie dalszych trzech typów dźwigarów znajduje się w realizacji.

tabl.3

W tablicy 3 podano w procentach stopień przekrożenia rzeczywistego /powierzonego w czasie badania/ obciążenia rysującego i niszczącego oraz ugęciał ^{zdolnego} stresunku do obliczonych dla rzeczywistych warunków w chwili badania /z uwzględnieniem rzeczywistych wymiarów i wytrzymałości sprawdzonych na próbkach - świadkach/. Obliczenie przeprowadzone wg podanych poprzednio zasad. Badanie wykazuje bardzo wysoką zgodność obliczeń z rzeczywistymi wynikami uzyskanymi podczas badania. Zgodność ta dla pięciu typów dźwigarów /dla

10 sztuk/ waha się średnio w granicach 6% procentem dla względów-
mów pewności rozbieżność wyników waha się w granicach -5% do +5%.
Wyniki badań wskazują więc na słuszność przyjętych metod oblicze-
niowych i możliwość ich uproszczenia w sposób poprzednio opisany.
Wysoka zgodność wyników badania z obliczeniami wskazuje na konie-
czność dokładnego projektowania dźwigarów - z uwzględnieniem 25X1
wszystkich możliwych przypadków obciążzeń oraz na konieczność
idealnie dobrego wykonawstwa - z zagwarantowaniem dokładności
wymiarów i żądanych wytrzymałości. //

25X1

25X1

Spis publikacji autora omawiających poruszone problemy 25X1

1. "Wyroby prefabrykowane w konstrukcjach sprężonych kablami". - opracowanie wspólnie z mgr inż. J. Zielińskim na Sesję Materiałową PAW - Inż.i Bud. 12/1953.
2. "Nowe zastosowanie konstrukcji sprężonych w budownictwie przemysłowym" - Bud. Pracm. 6/1954r.
3. "Konstrukcja sprężona trybun sztucznego Lodowiska w Warszawie" - oprac. wsp. z mgr inż. St. Kusiem - Inż.i Bud. 1/1955.
4. "Przedanie dźwigniów kablobetonowych dla pokrycia trybun sztucznego Lodowiska w Warszawie" - oprac. wsp. z inż. inż. T. Jeroszem i St. Kuśkiem. - Inż.i Bud. 1/1955.
5. "Przedanie dźwigniów oszczędnościowych o rozsp. 30m składanych z segmentów" - oprac. wspólnie z inż. inż. A. Małkowskim i A. Włodarczykiem - Inż. i Bud. 7/1956.
6. "Makietanie dźwigniów oszczędnościowych o rozsp. 21m składanych z segmentów" - oprac. wspólnie z inż. T. Jeroszem - Inż.i Bud.w przygotowaniu.
7. "Prefabrykowane dźwignie sprężone" - wyd. Bud. i Arch. G-wa 1956r. - *kemento*

2884/SG
1+3



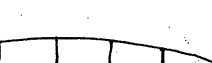
25X1

Tablica Nr 2

Zestawienie wskaźników techniczno-ekonomicznych
przekrycia hangaru o rozp. 42 m

Lp.	Nazwa elementu	Wymiary gabarytowe w cm.	Ciężar 1-go elementu w kg.	Zużycie materiałów na 1 m ² powierzchni				Razem Q = 2300 at	R = 45000 at	Razem
				beton w cm marki 140-200	marki 400-500	razem	R =			
1	Płyty łupinowe	140x560x30	840	3,60	-	3,60	2,50	-	2,50	2,50
2	Dźwigar kablobetonowy	300 x 4200 x 60	18000	-	2,90	2,90	2,50	3,00	5,50	5,50
3	Nadbeton i torkret na dźwigarze	-	-	1.10	-	1.10	0,25	0,25	0,25	0,25
<i>/średnio/</i>				4,90	2,90	7,80	5,25	3,00	8,25	

5. Cestavienie wymków bieżących dźwigów ruchowych (dla każdego typu badano 2 dźwignie równocześnie)

Typ dźwignia	Cechy charakterystyczne	Czas badania	Przekroczenie wartości obliczonej w procentach			Uwagi
			moment niszczący	moment zjawienia się rys.	ugięcie w środku rozpiętości podczas obliczeń maksymalnego	
	Dźwignia wykonany w części (jako monolityczny) na budowę w Ozimku cięzardźwigna 6,2t	VI-1954	—	0%	+ 17%	+ przekroczenie -zaniecie
	Dźwignia wspornikowy monolityczny zastosowany dla przykrycia trybun Torwaru cięzarnia dźwigni 4,5t	1954	0%	0,5%	—	ugięcie końca wspornika
	Dźwignia monolityczny wykonany na placu budowy zastosowany do przykrycia FMZ w Poznaniu	IV-1955	-5,0%	68%	—	
	Dźwignia składany z segmentów - 2-ch trójkątów (A), 8-ch odcinków pasa górnego (B) oraz 2-ch odcinków podporowych (C) zastosowane dla cementowni Odra	VIII-1955	+7%	-2%	+ 6,7%	
	Typowy dźwignia składany z dwóch typów segmentów - trapezowych i trójkątnych	X-1955	4%	8%	+ 3,0%	
Suma dla wszystkich dźwigni			1,5%	2,66%	9,0%	

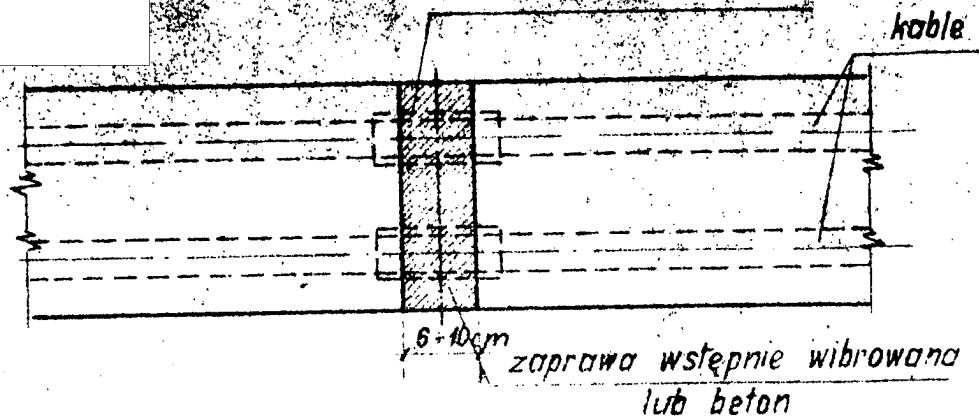
2. SEGMENTOWY

1. STYK LANY.

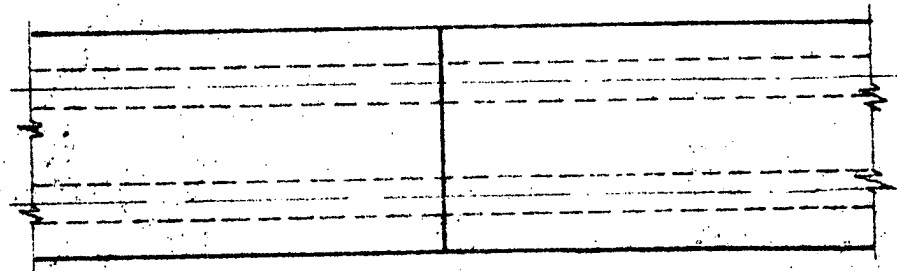
rurki z lany

25X1

kable



2. STYK SUCHY / DOSZLIFOWANIE ELEMENTÓW/

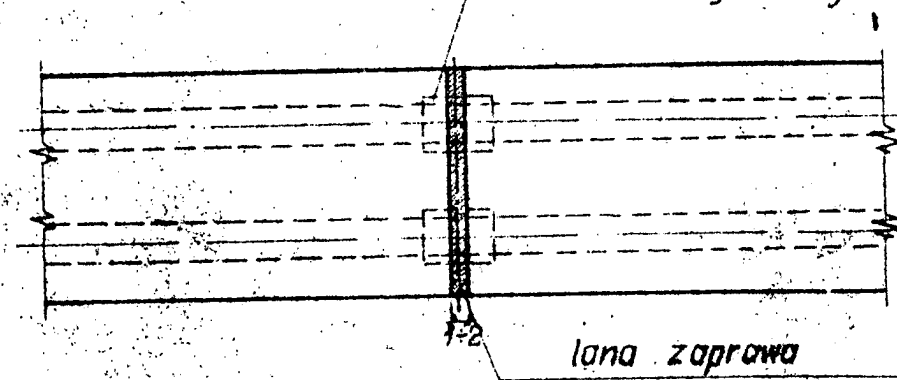


3. STYK BRYGADY ROBOT.- INŻ. W STRZYZNICY.

rurka blaszana lub odcinki węza gumowego

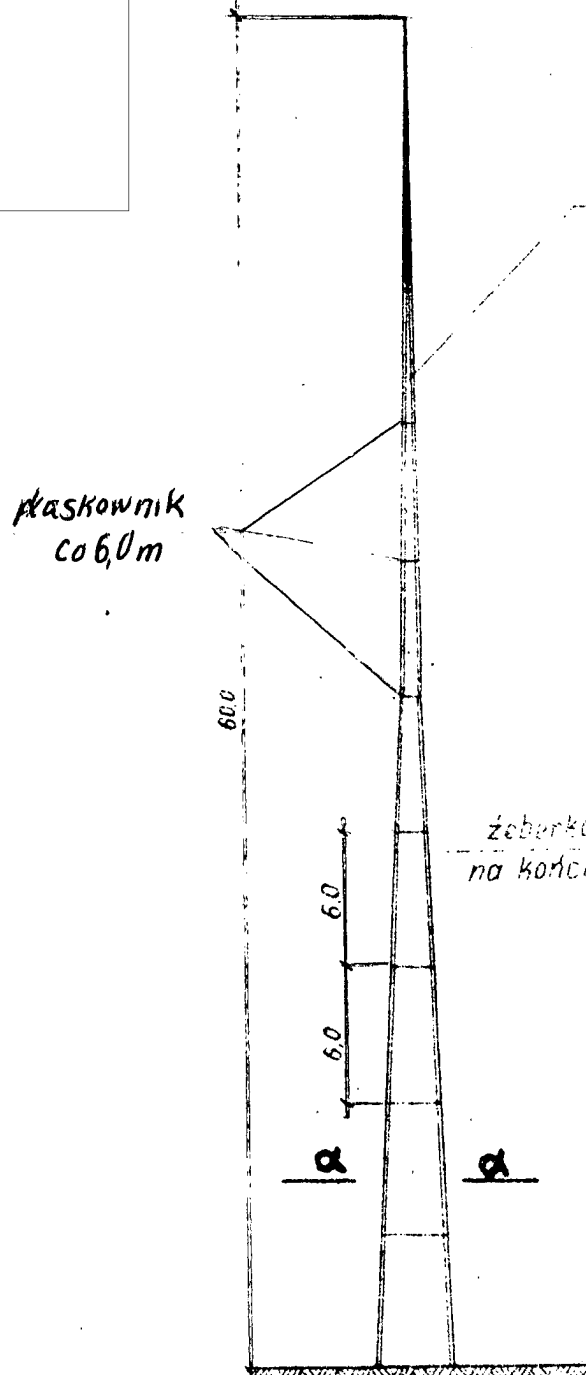
25X1

lana zaprowa

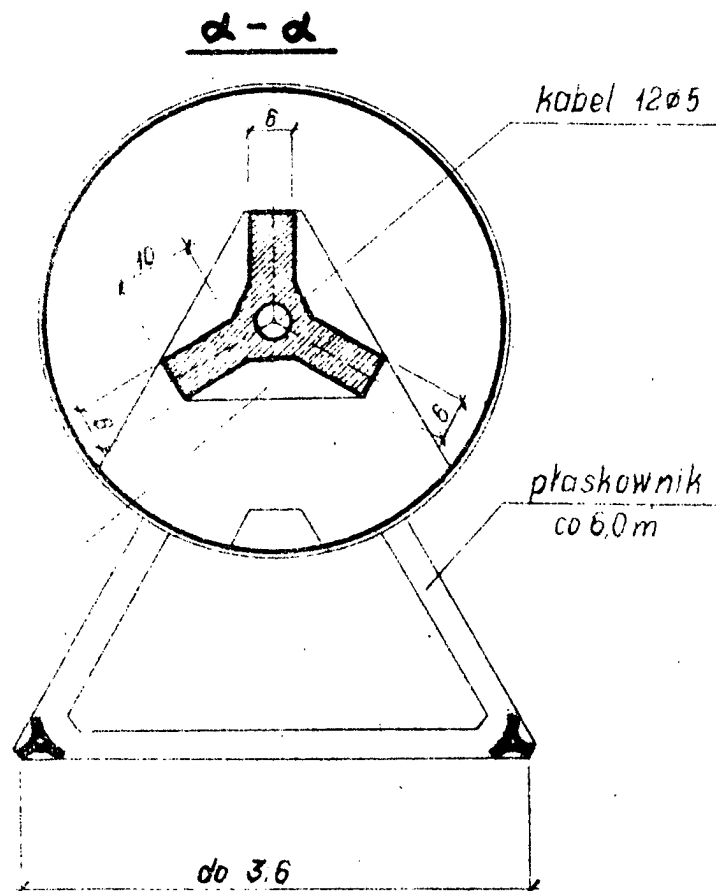


Rys 10

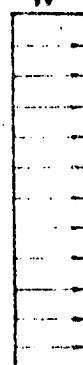
25X1



Typowy prefabrykat
dt. 6,0 m



Obciążenie
W Wykres momentów



3,6

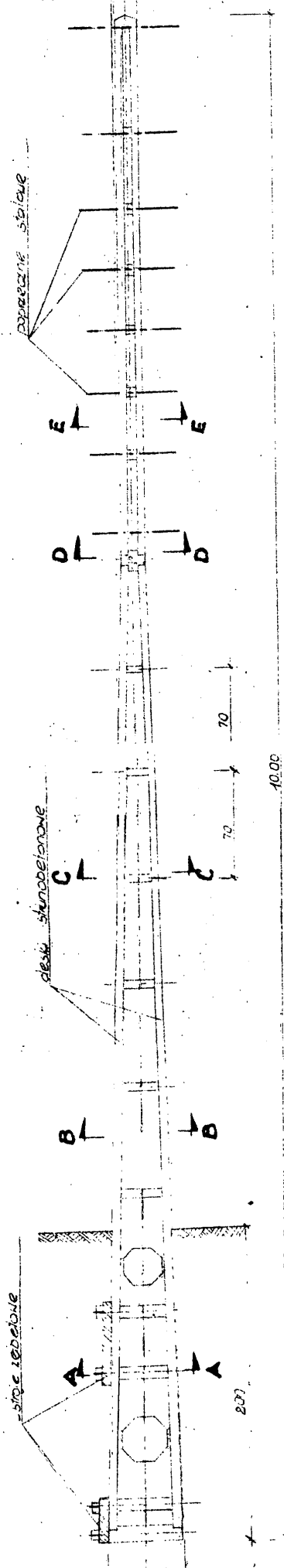
Wykres momentów



Ciązar masztu ~ 250 kg/m²
Łącznie ~ 15t

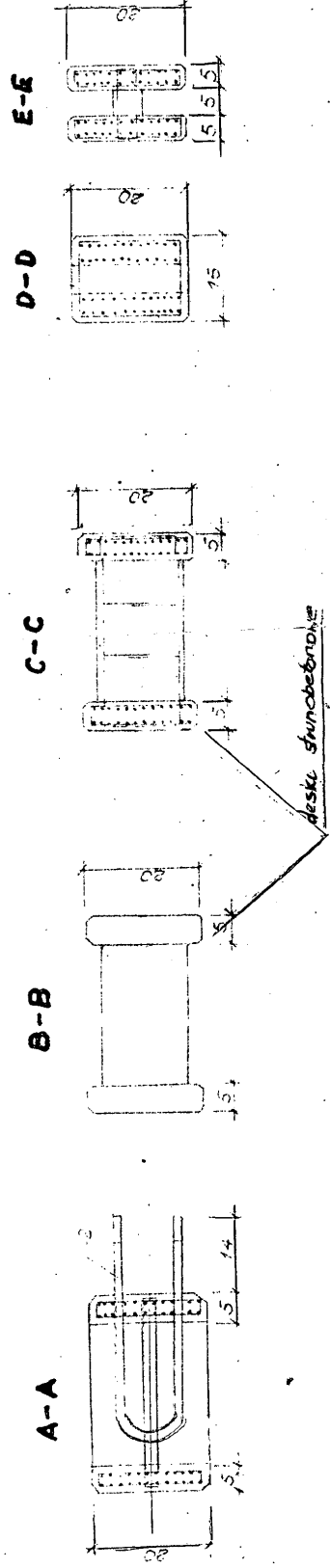
25X1

Rys. 12

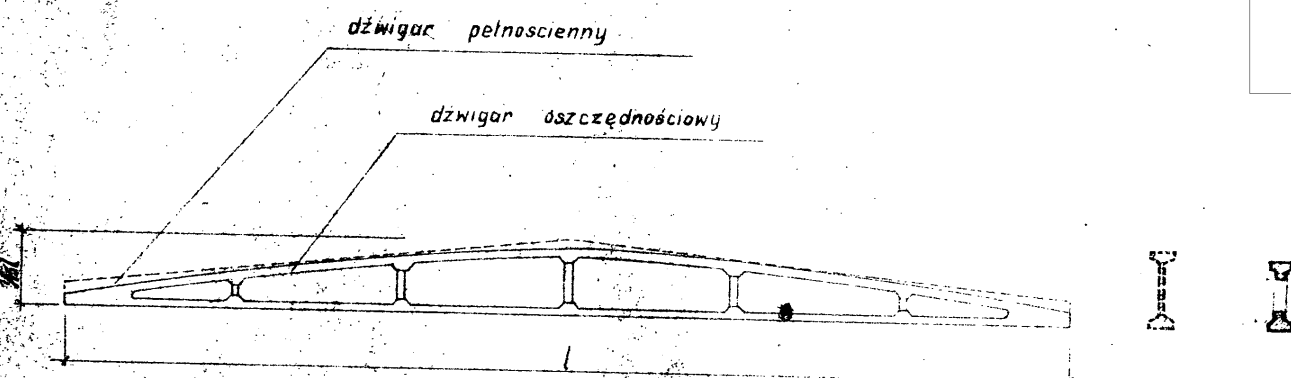
SETUP DLA TELEFONII

10.00

230V



Istota dźwigara kablobetonowego oszczędnościowego.



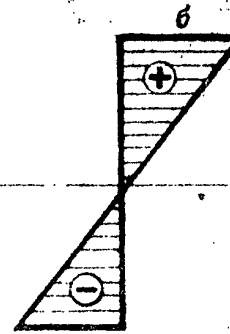
Rys. 2

Rys. 3.

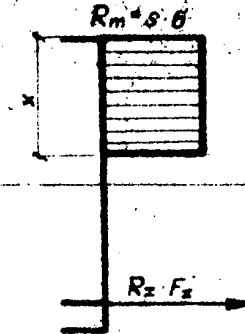
Przekrój-F.

Wykres naprężeń
przy ściskaniu osio-
wym.

$$N_1 = F \cdot b$$

Wykres naprężen
przy zginaniu.

$$N_2 = \frac{1}{2} F \cdot b$$

Wykres naprężeń
przy zgnieceniu.

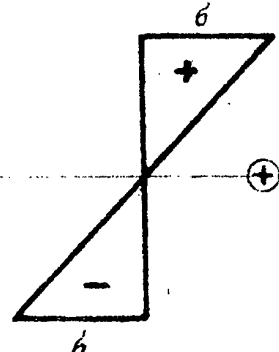
$$N_3 \leq \frac{1}{2} F \cdot b; x \leq 0.5h$$

Praktycznie $N \approx \frac{3}{4} F$

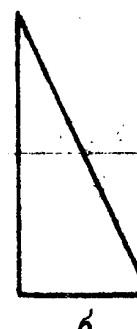
naprężenia dopuszczalne - σ
nośność materiału - N
 $N_1 = 2 N_2$

Rys. 1

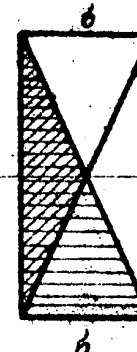
Przekrój

Naprężenie od
obciążenia

6

Naprężenie od
spreżenia.

6

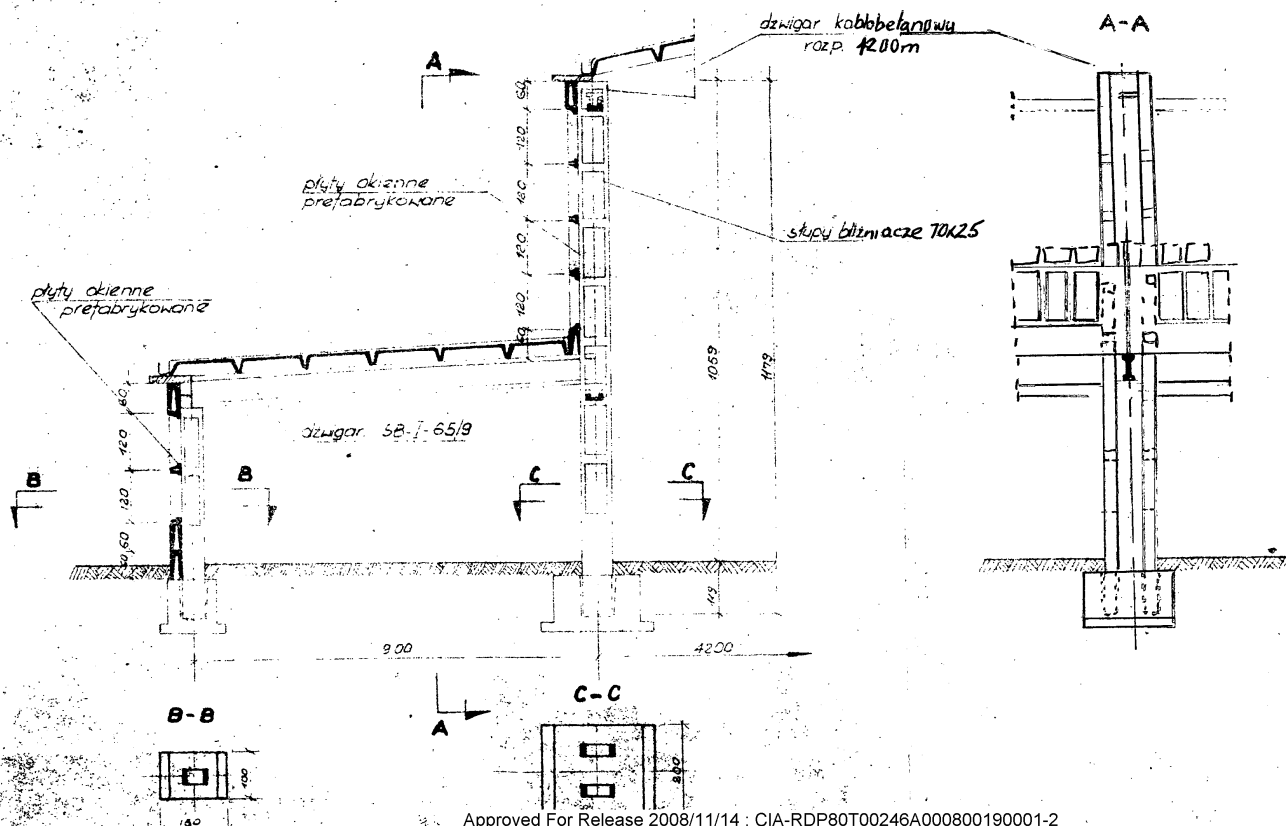
Sumowanie
naprężen.

6

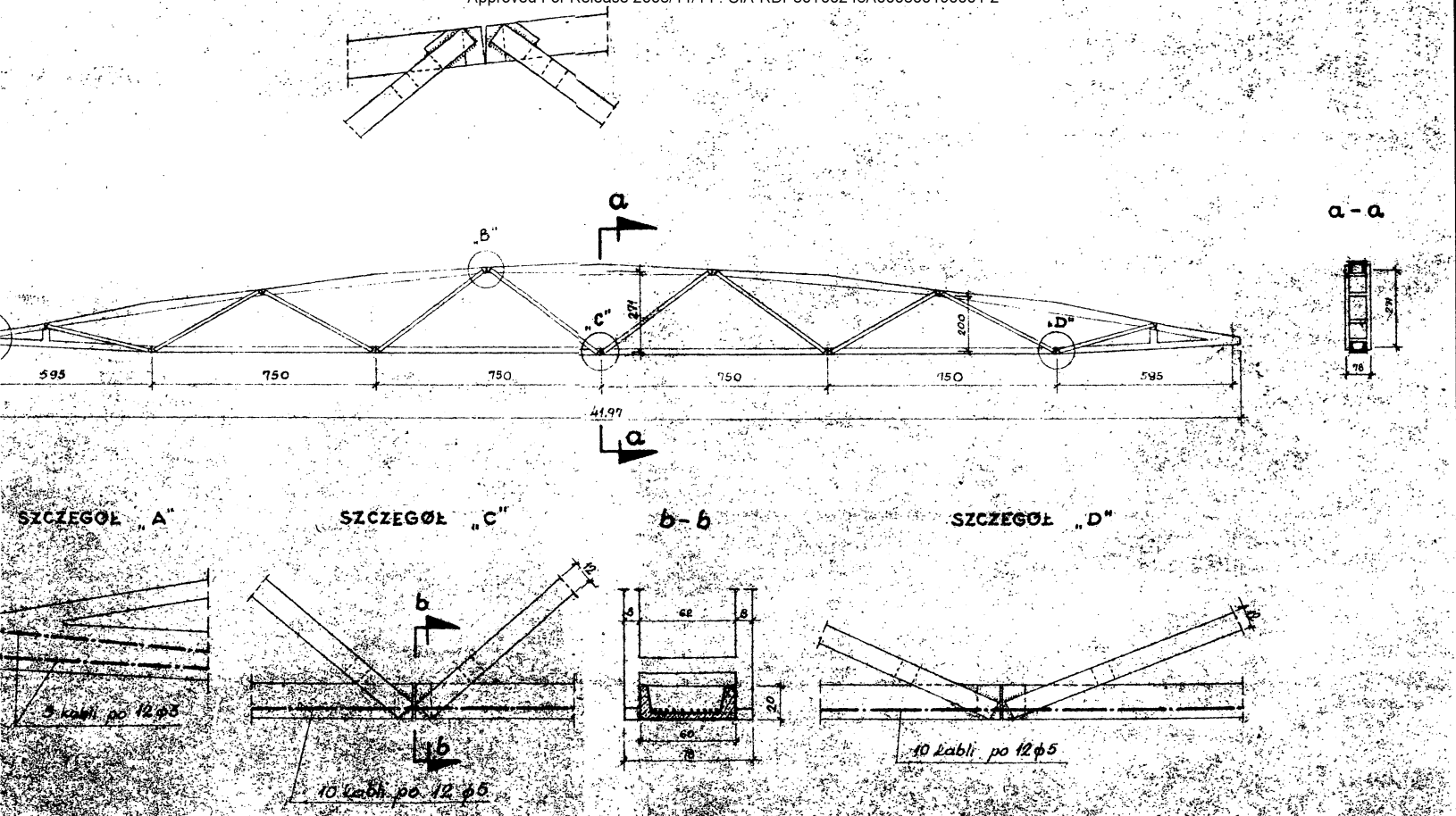
25X1

Rys. 2

Schemat konstrukcji ścian bocznych hangaru



Approved For Release 2008/11/14 : CIA-RDP80T00246A000800190001-2



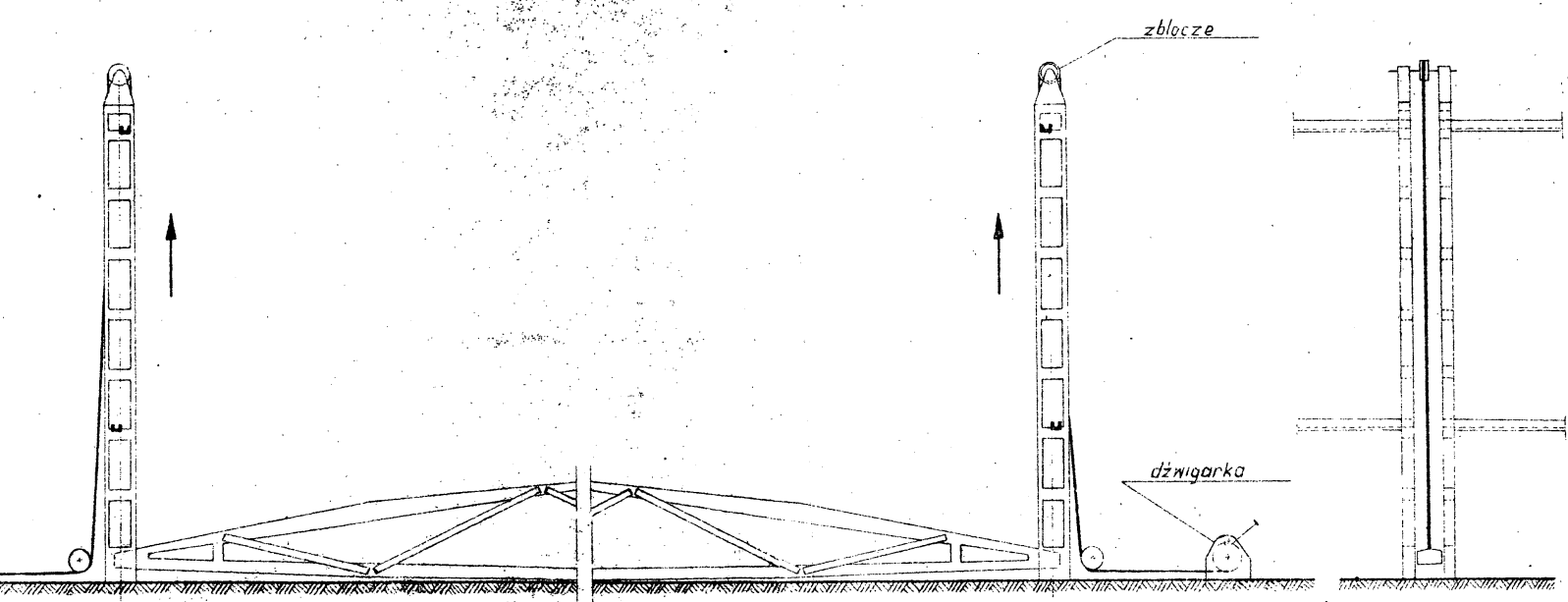
Approved For Release 2008/11/14 : CIA-RDP80T00246A000800190001-2

ZESTAWIENIE Approved For Release 2008/11/14 : CIA-RDP80T00246A000800190001-2 **PODŁ. 10, ŚCIĘWYCH**
MONOLITYCZNYCH, ORAZ SKŁADANYCH 18, 21 ; 24 m.

L.P.	SYMBOL	SCHEMAT	CIĘZAR kg	WSKAŹNIKI W Kg/m ² POW.			
				ZUŻYCIE BETONU cm ³ (BEZ NADBET.)	ZUŻYCIE STALI TWYKĘS 2500	WYSOK. 15000	RAZEM
1	KBO 15		2600	1.15	1.72	0.93	2.65
2	KBO 18		3600	1.35	2.02	1.33	3.35
	KBOS 18		3800	1.40	2.80	1.33	4.13
3	KBO 21		6000	1.90	1.78	1.51	3.29
	KBOS 21		6400	2.03	2.87	1.51	4.38
4	KBO 24		8000	2.30	1.67	1.85	3.47
	KBOS 24		8500	2.38	3.47	1.85	5.32
5	KBS 30		10400	2.31	2.55	1.87	4.42
SŁEDNIO W KBO (18,21,24) monolitycznych				~1.9cm	~18kg/m ²	~1.5 kg/m ²	~3.5 kg
KBOS (18,21,24) składanych				~9 cm	~20kg/m ²	~1.5 kg/m ²	~4.5 kg

Approved For Release 2008/11/14 : CIA-RDP80T00246A000800190001-2

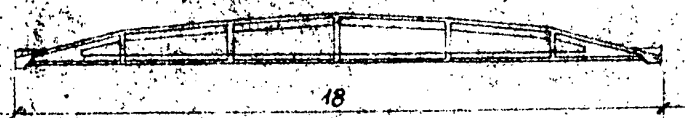
Schemat montażu dźwigów



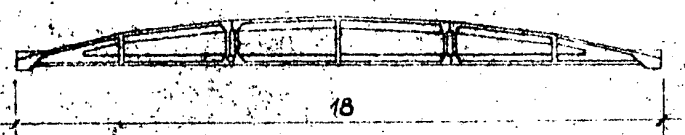
Dzięgiel kablowany. Oszczędoszkieletowy
monolityczny, składany



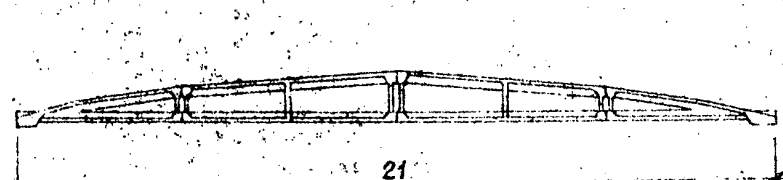
KBOS/15 z jednego elementu



KBOS/18 z jednego elementu



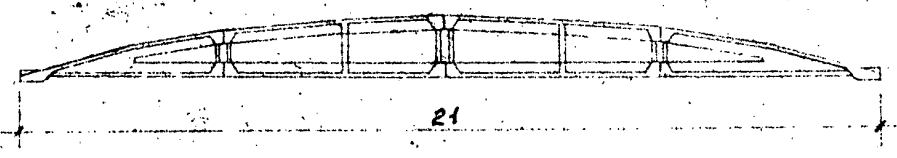
KBOS/18 składany



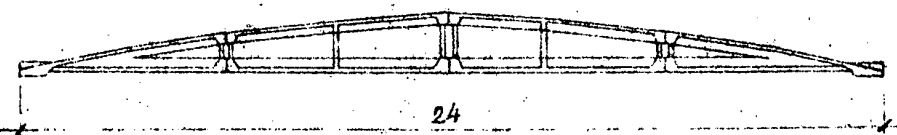
KBOS/21 składany



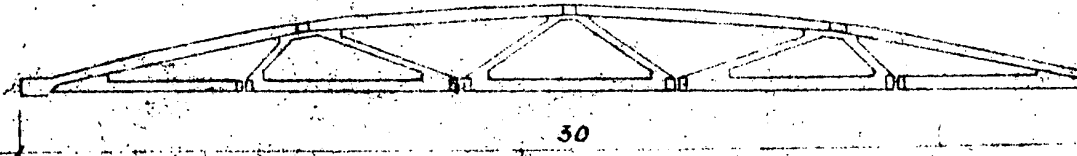
KBLS/21 składany



KBOS/24 składany



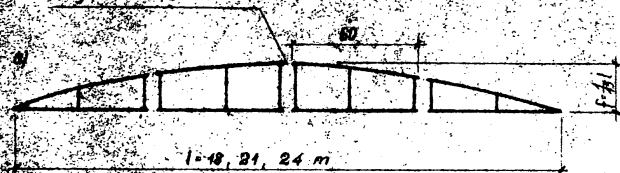
KBLS/24 składany



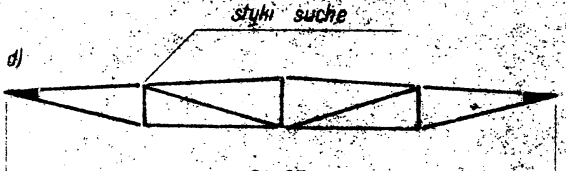
KB5/30
składany
krótki

SCHEMATY DZWIGARÓW OSZCZĘDNOŚCIOWYCH SKŁADANYCH Z SEGMENTÓW

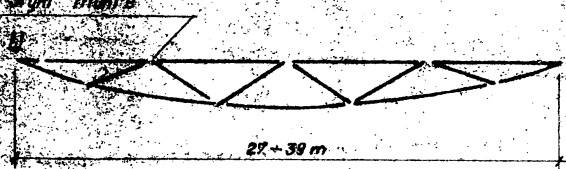
styki suche



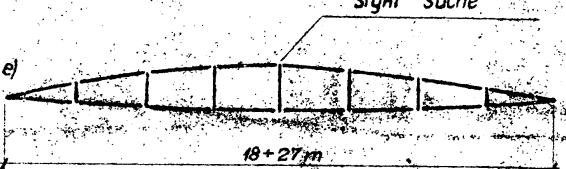
styki suche



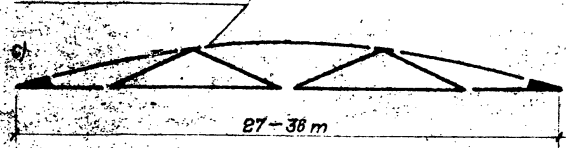
styki małe



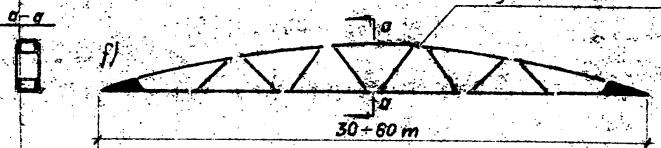
styki suche



styki suche



styki suche



DVK 5/0

Approved For Release 2008/11/14 : CIA-RDP80T00246A000800190001-2

Rys. 9